

## II-28 南水路急拡部の水理学的性状に関する研究

(とくに流れの非対称性について)

京都大学工学部 正員 工博 石原藤次郎

京都大学大学院 学生員 工修。志方俊之

### 1. 緒言

著者らは開水路急拡部におけるエネルギー損失の機構を明らかにするため、オ一段階として、遷移水面形狀を分類して、一次元運動量解析を行ない、つぎに急拡部近傍における主流方向の流速分布を調べ、噴流理論適用の可能性について検討を加えた。急拡部を通す流れを取り扱う場合、二点を側壁の拘束を受ける流れの場合に放たれる噴流の拡散現象と考える立場をとり、後流を含む流れのパターンを検定し、流れが対称である場合についてはすでに解析を行なった。

しかしながら、急拡部にあらわれる実際の流れでは、ほとんど対称を拡散することなく、下流側水路のいずれかの側へかたより、非対称の剥離領域が形成される。この事実は従来から多くの研究者により経験的に指摘されてきたが、本報告では、簡単な非対称流れのモデルを行い、剥離領域の長さに関する解析を試みた。

### 2. 非対称性の原因

急拡部における流れの非対称性の原因としては、まずオ1に水路の製作誤差や設置誤差による非対称性が考えられる。しかしながら、片側の剥離領域に水を補給したり、あるいはまた強制的に後などによつて流れを反対側に偏向させると、流れはその状態のまま安定するという事実は、オ1の原因のみで説明することができない。

オ2の原因として考えられるのは、後流補給に関する初期条件の非対称性に起因する“Coanda効果”である。すなわち、噴流が下流側水路に放出されると、その結果、噴流による連行現象が生じる。その際、連行される流体量を補給するため、下流側水路の両側に後流が発生するわけであるが、水面変動や流速分布などの初期条件に微小な非対称性があると、後流による流体の補給にも微量の差を生じ、その結果、噴流を横切って圧力差が生じる。つぎに、この圧力差により噴流に若干の弯曲が与えられ、弯曲した側の剥離領域に対する流体の補給はさらに減少する。これはさらに弯曲を増大させ、弯曲による遠心力と圧力差がバランスする状態まで弯曲して安定状態に至る。

このように、噴流が固体壁面の近くでそれに引き寄せられ、弯曲する強い傾向を示すことは、通常よく観察される現象であり、Coandaがこの現象を内燃機関の排気効率改善、高推力ノズルの噴出能力増大、および翼の揚力係数増大などに利用したことから、“Coanda効果”と呼ばれている。

以上に述べた2つの主要な原因によつて、急拡部における噴流は偏向して拡散すると考えられるが、二点はかかへに独立していふわけではなく、後流補給の初期条件の非対称性はオ1の原因によつて影響を受ける場合も多いと考えられるから、これら2つの原因が結合して噴流の偏向を支配していくと考えよ。

### 3. 非対称流れのモデル

噴流は弯曲して周囲の流体を連行しつつ下流側水路側壁に衝突(Reattachment)して2分され、流れの一部の体積は少しだけ剥離領域に後流として返される。安定状態では連行された流体量と後流として

夫々の端部条件を満足する振動波形を表-1のように仮定する。これを上述の式及びの式に代入し  $a_m$  を偏微分することにより振動数を得る式が導かれる。

面外振動の場合は伊藤・深沢氏により誘導された式を用いた。

固有振動数の理論値及び実験値をまとめてものを表-2に示す。比較のため面内振動においては Stüssi の式による値を示す。又振動モードの一例を図-3に示す。

実験値は仮定したモードより直線の振動モードに近く、これは他の端部条件の場合にも同じことがいえる。従ってアーチの耐震性を概算的に調べる場合には、Stüssi の式により固有振動数と、又直線の式より振動モードを求めて近似的には十分である。

尚実験により得られた対数減衰率は面内面外の対称振動では  $2.23 \sim 2.28$  の範囲であるが、面内非対称の振動では  $0.15 \sim 0.34$  と非常に大きな結果が得られた。

#### 強制振動による変位

強制振動を加えて模型に面外振動させ、クランク部の変位を測定した。

結果の一例を図-4に示す。

図によるとテーパーがついた場合は変位が少く、特に死荷重が増加した場合の変位の増加量はテーパーのない場合に比べはるかに少くなる。これらの事からも面外振動に対してはテーパーをつけた方が有利であるといえる。尚端部条件の違いによって変位に差はみられなかった。

終りに本研究は文部省科学研究費の補助を受けたことを記す。

	対称一次	非対称一次
Zヒンジ	$\eta = \sum a_m \sin \frac{m\pi}{L} x$ ( $m=1, 3, 5, \dots$ )	$\eta = a \sin \frac{\pi}{L} x$
無ヒンジ	$\eta = \sum a_m (1 - \cos \frac{m\pi}{L} x)$ ( $m=2, 4, 6, \dots$ )	$\eta = a (\sin \frac{2\pi}{L} x - \frac{1}{2} \sin \frac{4\pi}{L} x)$

表-1

		エヌゼー法	Stüssi	実験値
面内振動	スヒンジ	対称一次	7.36	6.84, 7.6, 7.5
		非対称一次	3.10	3.26, 3.5, 3.4
面外振動	無ヒンジ	対称一次	10.25	—, 10.0, 10.0
		非対称一次	6.65	4.69, 5.2, 6.0
面外振動	Zヒンジ	対称一次	11.9	—, 9.4, 10.5
		無ヒンジ	対称一次	11.9, —, 10.0, 11.2

表-2 固有振動数(%)

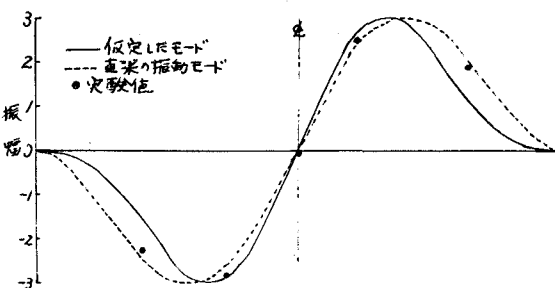


図-3 面内振動モード(無ヒンジ)

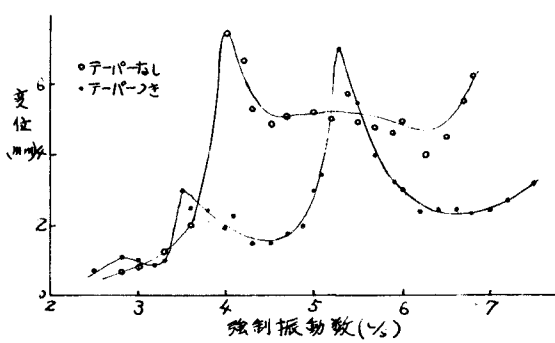


図-4 強制振動によるクランク部の変位(無ヒンジ)

[参考文献] (1) Stüssi, F; "Aktuelle Baustatistische Probleme der konstruktionspraxis," Schweiz Bauzeitung (1935)

(2) 伊藤・深沢;「内弧アーチの固有振動数」土木学会第17回講演概要集 (1962)

そうすれば(1)式に  $Y_{Um} = 0.1$  を代入して、つぎの(8)式が得られる。

$$\frac{y_1}{s_1} = \frac{C_2}{\sigma} \quad (8)$$

ここで  $y_1, s_1$ :  $S_1$  断面における噴流の半径、  $C_2$ : 常数 ( $> 0.002$ )

$S$  座標は急拡断面を原点にして  $y_3$  のではなく、2次元理想噴流理論の仮想原点に原点をとる  $y_3$  とする。急拡断面の  $S$  座標は  $S_0$  とおくと、(6)式から  $S_0$  に関する(9)式が得られる。

$$S_0 = \frac{C_1}{2C_2^2} B_1 \sigma \quad (9)$$

つぎに、図-1における幾何的条件から

$$S_1 - S_0 = R \sin \theta \quad (10)$$

$$l = R \sin \theta \quad (11)$$

$$AB = R(1 - \cos \theta) + y_1 \cos \theta - \frac{l}{2} B. \quad (12)$$

となる。さらに単位時間について、噴流中心線と Reattaching streamline との間の流れの質量は一定で、急拡部から放出される質量と等しくなければならぬから、

$$\frac{1}{2} Q = \frac{1}{2} \sqrt{MBP} = P \int_0^{y_R} u dy = \sqrt{\frac{1}{2C_1} \frac{MSP}{\sigma}} \int_{y_R}^l \{1 - (1 - \eta^2)^2\} d\eta = T \sqrt{\frac{1}{2C_1} \frac{MSP}{\sigma}} \quad \dots \dots \quad (13)$$

ここで、 $y_R$ : 噴流中心線と Reattaching streamline の中、 $\eta_R = 1 - \sigma \frac{y_R}{S}$ 、 $T = \int_{y_R}^l \{1 - (1 - \eta^2)^2\} d\eta$ 。

(3)式において  $S = S_1$  にかけ  $T = T_1$  と書き、(9)式の関係を用いて(14)式が得られる。

$$T_1^2 = C_2^2 \frac{S_0}{S_1} \quad (14)$$

(8)～(14)式の関係から、水路中拡大比  $B_1$ 、剝離領域の長さ ( $l$  で近似する)、および噴流を横切る圧力差を無次元量で表すことができる。すなはち、急拡断面における平均流速を  $U_{m1}$  として、

$$\frac{AB}{B_1} = \frac{1}{2} (1 - \beta_0) = \frac{1}{2} \left\{ \frac{C_1 \sigma}{\theta} \left( \frac{1}{T_1^2} - \frac{1}{C_2^2} \right) (1 - \cos \theta) + C_1 C_2 \frac{\cos \theta}{T_1^2} - 1 \right\} \quad (15)$$

$$\frac{AB}{B_1} = \frac{C_1 \sigma \sin \theta \left( \frac{1}{T_1^2} - \frac{1}{C_2^2} \right)}{\theta} / \left\{ \frac{C_1 \sigma}{\theta} \left( \frac{1}{T_1^2} - \frac{1}{C_2^2} \right) (1 - \cos \theta) + C_1 C_2 \frac{\cos \theta}{T_1^2} - 1 \right\}. \quad (16)$$

$$\frac{R_0 - R_1}{\frac{U_m^2}{2g}} = \frac{4\theta}{C_1 \sigma \left( \frac{1}{T_1^2} - \frac{1}{C_2^2} \right)} \quad (17)$$

つぎに  $T_1$  と  $\theta$  との関係を与える必要がある。そのためにには Reattaching point における連続の条件と運動量のバランスを考えなくてはならない。 $Reattaching point$  において衝突した噴流は2分され、一部は横流となり、他の一部は流下方向の流れとなる。この流れとそれより最大流速  $U_{m1} \phi(\theta)$ 、 $\times U_{m1}$  とする(4)式の流速分布の半分を持つものと考へる。(図-2参照)。このように考えて釣合の条件を調べる。ただし  $\phi(\theta)$  は  $\phi(0) = 0$ 、 $\phi(\frac{\pi}{2}) = 1$  の条件を満たす任意の関数で  $U_{m1}$  は  $S = S_1$  における噴流の中心線流速である。 $T_1$  と  $\theta$  との関係は  $\phi(\theta) = \sin \theta$  とおける。

$$T_1 = C_2 \left\{ 1 - 2 \left( \frac{1 - \cos \theta}{1 + \sin \theta} \right) \right\} \quad (18)$$

となる。(15)式と(18)式から図-3が得られ、水路中拡大比が与えられるとき  $\theta$  の値が得られると、噴流の衝突角が求められる。

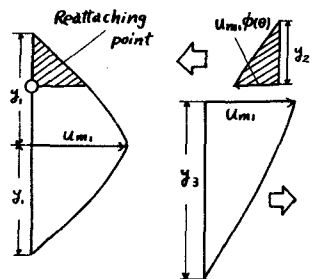


Fig-2

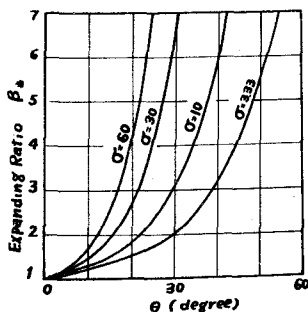


Fig-3

## 5. 実験結果に対する考察。

実験水路(Manningの粗度  $n=0.011$ )はこう配1/500, 長さ14m, 中15cmおよび30cmで, 中央に急拡部が設けられている。実験流量は4~10 l/sec で, 接近流のFroude数が0.4以下の流れについて行った。

剥離領域の形状および大きさはピトー管による流量測定と写真撮影(Flow visualization tracerにはキシレン、四塩化炭素、酸化鉛、アルコール、アルミ粉およびおがくすの混合液を使用)によって測定した。

図-4はピトー管によって測定した混合領域内の流速分布の一例である。 $x=10\text{ cm}$ の値はZone of flow establishment内におけるもの。 $x=45\text{ cm}$ の値は

Potential coreの消滅した断面(図-1のS<sub>1</sub>断面にほぼ対応)

における流速分布であり、Reattachingするまでは、ほぼ2次元理想噴流の流速分布を(1)式のように仮定してよいと思われる。

$x=100\text{ cm}$ の値はReattaching後の流速分布を代表するもので、下流側水路側壁による運動量の反射のため、流速分布形は(1)式からはずれている。

図-5は、(15)式、(16)式および(18)式から得られた理論曲線を $\sigma$ をパラメーターとして描いたもので、同時に従来の実験値がプロットされている。この図から急拡部にあらわれた実際の弯曲した噴流では、 $\sigma$ の値が2次元理想噴流の $\sigma=3.33$ の値に比較していずれも大きい値を示しており、比較的大比の小さい開水路急拡部においては $\sigma=30\sim60$ に変化させ、拡大比の大きい場合には $\sigma=10$ と評価してもよいことが明らかとなる。このように $\beta_*$ の小さい場合に $\sigma$ が急激に大きくなるのは、Flow establishmentの

状態でReattachingすること、および噴流弯曲のため噴流内縁では遠心力によって拡散が抑制されるなどによるものと考えられる。しかししながら、解析にあたりて多くの仮定をともなう(16)式は、さらに改良すべきもので、いくつ(17)式については実際の現象にあたる関係を得るべく検討を加えなければならぬと考えている。

## 参考文献

- (1) C. Bourque & B.G. Newman "Reattachment of two-dimensional incompressible jet to an adjacent flat plate" Aero. Quart. 1959.
- (2) R.A. Sawyer "The flow due to a two-dimensional jet issuing parallel to a flat plate" J. of Fluid Mech. 9 1960.

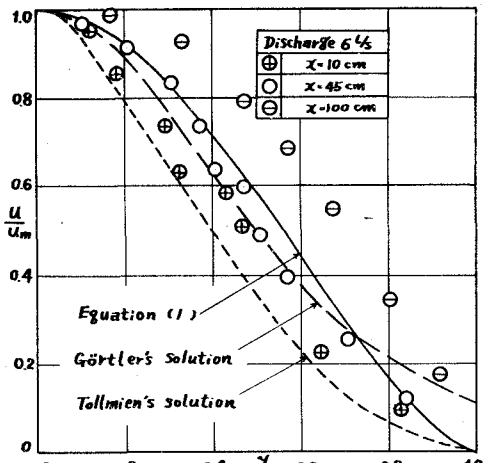


Fig-4

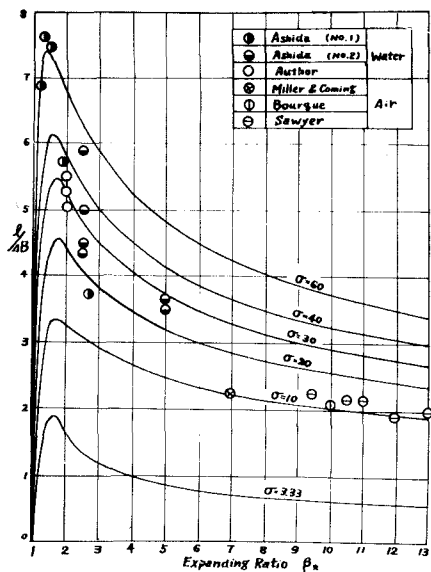


Fig-5